

УДК 541.136+546.34+544.463

Na₂FePO₄F – новый катодный материал для натриевых и литиевых аккумуляторов*

В. Р. ПОДУГОЛЬНИКОВ^{1,2}, Н. В. КОСОВА¹

¹Институт химии твердого тела и механохимии Сибирского отделения РАН,
ул. Кутателадзе, 18, Новосибирск 630128 (Россия)

E-mail: kosova@solid.nsc.ru

²Новосибирский государственный университет,
ул. Пирогова, 2, Новосибирск 630090 (Россия)

Аннотация

Реализован твердофазный безотходный и энергосберегающий синтез с использованием механической активации однофазного катодного материала Na₂FePO₄F (пр. гр. *Pbcn*) для натриевых и литиевых аккумуляторов. Показано, что продукт образуется уже на стадии механической активации (МА) и кристаллизуется при последующем отжиге до 600 °C, а нагрев до 700 °C приводит к разложению образовавшегося продукта на Na₃PO₄, Fe₃O₄, Na_{0.11}FeF₃ и Na₃Fe₂(PO₄)₃. Изучены электрохимические свойства Na₂FePO₄F в ячейке с литиевым анодом и литиевым электролитом, по результатам которых удельная емкость Na₂FePO₄F, поверхностью-модифицированного углеродом, составила 115 mA · ч/г при скорости циклирования C/10. Установлено, что процесс химического и электрохимического обмена Na на Li в структуре Na₂FePO₄F завершается образованием соединения состава NaLiFePO₄F с пр. гр. *Pbcn*.

Ключевые слова: Na₂FePO₄F, механохимический синтез, кристаллическая структура, химический и электрохимический обмен Na на Li

ВВЕДЕНИЕ

В наше время сложно представить портативные устройства без литий-ионных аккумуляторов (ЛИА), однако мировые запасы лития ограничены. Заменой ЛИА могут стать натриевые аккумуляторы, так как натрий широко распространен в земной коре и океанах. Натриевые аккумуляторы, обладая достаточно высокой энергоемкостью, более дешевые по сравнению с ЛИА. Принцип работы натриевых аккумуляторов аналогичен принципу работы ЛИА: в основе его лежит обратимая интеркаляция/дептеркаляция щелочного металла в структуру катода и анода. Однако углеродный материал в качестве анодного материала в натриевых аккумуля-

торах не используется, поскольку ионы натрия не интеркалируют в межслоевое пространство графита из-за большего ионного радиуса по сравнению с радиусом ионов лития. В качестве анодных материалов обычно используют натрий-металлофосфаты (например, NaTi₂(PO₄)₃), сложные оксиды натрия и d-металлов (Na₂Ti₃O₇, NaVO₂) и различные сплавы натрия (NaSi, NaGe), обладающие низким потенциалом [1]. В качестве электролита используют растворы солей натрия в органических растворителях.

Перспективные катодные материалы для натриевых аккумуляторов – фторофосфаты Na₂MPO₄F (M = Fe, Mn, Co, Ni) [2]. Теоретически они могут извлекать до двух ионов натрия с участием двух электронов d-металла на формульную единицу (например, при повышенных температурах [3]), обладая высокой теоретической удельной емкостью (>240 mA · ч/г). Кроме того, структура Na₂MPO₄F

* Материалы IV Международной конференции “Фундаментальные основы механохимических технологий”, 25–28 июня 2013 г., Новосибирск

характеризуется небольшими изменениями объема элементарной ячейки при заряде–разряде, что положительно сказывается на устойчивости катода при циклировании (отсутствие механических напряжений). Данные материалы обладают двумерными, 2D ($\text{Na}_2\text{FePO}_4\text{F}$, $\text{Na}_2\text{CoPO}_4\text{F}$), и трехмерными, 3D ($\text{Na}_2\text{MnPO}_4\text{F}$), каналами для транспортировки ионов щелочного металла, что способствует проведению интеркаляции–деинтеркаляции при высоких скоростях. К недостаткам данных материалов относится их низкая электронная проводимость и ионная диффузия.

Электронную проводимость $\text{Na}_2\text{MPO}_4\text{F}$ ($M = \text{Fe}$, Mn , Co , Ni) можно повысить, если получать их в наноразмерном состоянии, либо путем создания высокопроводящего поверхностного углеродного покрытия и/или допирования. С уменьшением размера частиц до наноуровня увеличивается поверхность контакта электрод/электролит и сокращаются диффузионные расстояния для ионов щелочного металла в твердой фазе катода по сравнению с материалами микронных размеров. За счет этого процессы заряда–разряда аккумуляторов протекают с высокой скоростью [4]. Покрытие частиц катодного материала углеродом способствует увеличению электронной проводимости.

На данный момент одним из наиболее перспективных натрий-содержащих катодных материалов считается фторофосфат железа и натрия $\text{Na}_2\text{FePO}_4\text{F}$. Он характеризуется высокими рабочим напряжением (3.5 В) и теоретической удельной емкостью (124 $\text{mA} \cdot \text{ч}/\text{г}$ на один электрон). Материал способен циклировать как в ячейке с натриевым анодом и натриевым электролитом, так и в ячейке с литиевым анодом и литиевым электролитом. При циклировании в ячейке с литиевым анодом Na постепенно замещается на Li в структуре $\text{Na}_2\text{FePO}_4\text{F}$. Для получения $\text{Na}_2\text{FePO}_4\text{F}$ в наноразмерном состоянии применяют различные методы синтеза. Материал с размером частиц 50–200 нм, узким распределением частиц по размерам и удельной емкостью примерно 100–120 $\text{mA} \cdot \text{ч}/\text{г}$ можно получить с использованием золь–гель и ионотермального метода [5, 6]. Однако эти методы требуют больших затрат дорогостоящих реагентов и неэкологичны. Продукт с частицами в форме высокопористых сфер размером 500 нм получен ультра-

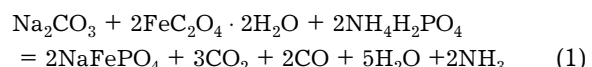
звуковым пиролизом смеси NaNO_3 , NaF , $\text{Fe}(\text{NO}_3)_3 \cdot 9\text{H}_2\text{O}$, H_3PO_4 и сахарозы и последующего отжига в течение 10 ч в токе аргона, но его удельная емкость достигла всего 90 $\text{mA} \cdot \text{ч}/\text{г}$ [7]. С помощью механоактивации (МА) смеси FePO_4 , NaF , Na-карбоксиметилцеллюзы в горячем спирте в течение 6 ч и последующего отжига прекурсора в токе аргона и водорода в течении 10 ч получены частицы с размежом 200 нм и удельной емкостью 118 $\text{mA} \cdot \text{ч}/\text{г}$ [8].

Многочисленные исследования показали, что предварительная MA в энергонапряженных механоактиваторах приводит к измельчению, гомогенному смешиванию, накоплению энергии в виде дефектов в смеси исходных реагентов и ускорению диффузии в твердой фазе. Благодаря этому значительно уменьшаются продолжительность и температура последующего отжига и, как следствие, получаются материалы в наноструктурированном состоянии [9]. В отдельных случаях становится возможным получение конечного продукта уже на стадии MA. В ИХТТМ СО РАН (Новосибирск) данный подход развивается для синтеза различных электродных материалов для ЛИА.

Цель данной работы – получение $\text{Na}_2\text{FePO}_4\text{F}$ механически стимулированным твердофазным синтезом и изучение его структурных и электрохимических характеристик.

ЭКСПЕРИМЕНТАЛЬНАЯ ЧАСТЬ

Катодный материал $\text{Na}_2\text{FePO}_4\text{F}$ получали в две стадии:



Механическую активацию реакционных смесей проводили в планетарной мельнице АГО-2 с использованием стальных барабанов и шаров. Последующий отжиг активированных смесей осуществляли в токе аргона при температуре ~600 °C. Дополнительно синтезировали образец $\text{Na}_2\text{FePO}_4\text{F}$ с содержанием углерода 3 % для создания композита с электронопроводящим углеродным покрытием.

Структуру полученных образцов исследовали методом порошковой дифрактометрии (РФА) на дифрактометре Bruker D8 Advance. Уточнение структуры проводили по методу Ритвельда с использованием пакета программ

GSAS [10]. Высокотемпературный *in situ* рентгеновский анализ осуществляли в камере HTK 90 1200N дифрактометра Bruker D8 Advance в токе Не в диапазоне от комнатной температуры до 700 °C со скоростью нагрева 0.2 °C/с и временем выдержки 300 с. Мессбауэровские (ЯГР) спектры снимали на установке NZ-640 (Венгрия) при комнатной температуре. Источник излучения – ⁵⁷Co. Химический сдвиг определяли относительно α-Fe. Гальваностатическое циклирование проводили в полужачайке с литиевым анодом и раствором 1 M LiPF₆ в смеси этилен- и диметилкарбоната в качестве электролита при комнатной температуре на автоматизированной установке по циклированию. Силу тока варьировали в диапазоне значений 0.1–10 mA. Химический ионный обмен Na на Li в Na₂FePO₄F проводили при его перемешивании в растворе 1 M LiBr в ацетонитриле в течение 30 ч по методике, описанной в работе [5].

РЕЗУЛЬТАТЫ И ОБСУЖДЕНИЕ

Согласно литературным данным, Na₂FePO₄F кристаллизуется в ромбической сингонии, пр. гр. *Pbcn*. В структуре Na₂FePO₄F атомы Fe находятся в октаэдрических позициях 8d и окружены четырьмя атомами кислорода и двумя атомами фтора. Два соседних октаэдра соединены гранями и образуют биок-

таэдр [Fe₂O₆F₃], который, в свою очередь, соединен с двумя соседними биоктаэдрами через вершины. Атомы Na находятся в двух различных 8d позициях, а их окружение состоит из пяти атомов кислорода и двух атомов фтора. Фосфор в позиции 8d находится в типичном для него тетраэдрическом окружении атомов кислорода.

По результатам проведенного РФА, конечный продукт Na₂FePO₄F формируется уже на стадии МА исходной смеси NaFePO₄ и NaF (рис. 1), что указывает на реализацию прямого механохимического синтеза. Нагрев активированной смеси в высокотемпературной камере сопровождается постепенной кристаллизацией продукта, которая завершается при температуре 600 °C. Дальнейший нагрев до 650 °C и выше вызывает разложение образовавшегося продукта, которое полностью завершается при 700 °C. При этом на дифрактограммах исчезают рефлексы Na₂FePO₄F. Продукты разложения после полного охлаждения смеси – Na₃PO₄, Fe₃O₄, Na_{0.11}FeF₃ и Na₃Fe₂(PO₄)₃. В последующем Na₂FePO₄F синтезировали при температуре 600 °C.

Дифрактограмма синтезированного продукта полностью соответствует хорошо окристаллизованному Na₂FePO₄F с пр. гр. *Pnma* (рис. 2). Уточнение структуры проводили по методу Ритвельда с описанием рефлексов функциями псевдо-Войта; фон описывали с помощью полинома Чебышева восемнадцатой

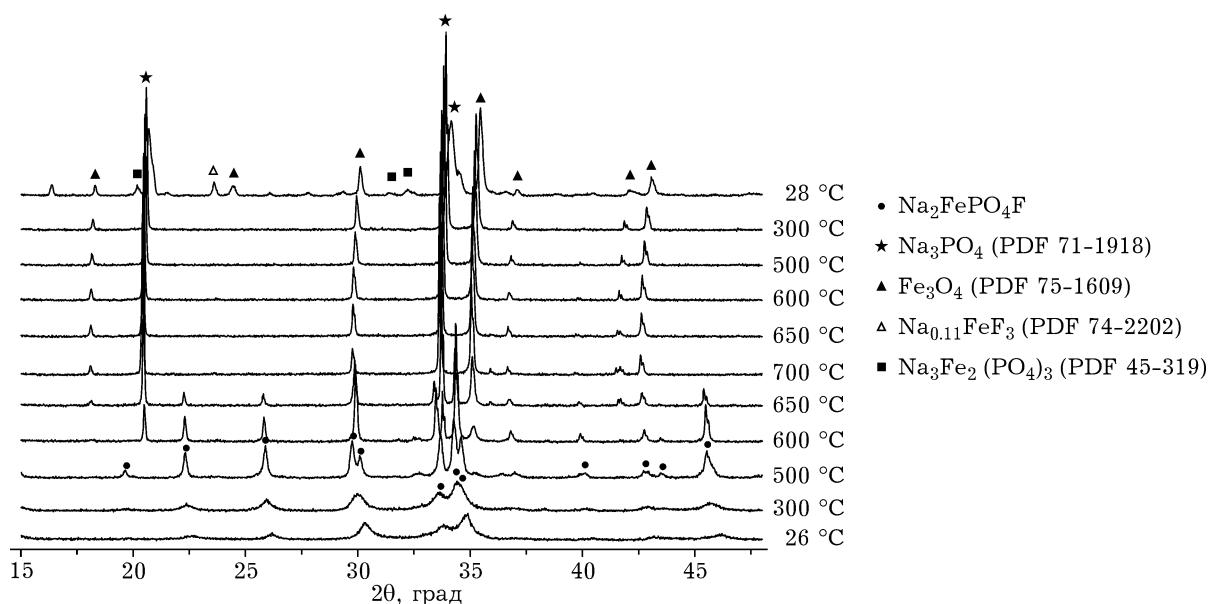


Рис. 1. *In situ* дифрактограммы активированной смеси NaFePO₄ и NaF при нагревании и охлаждении.

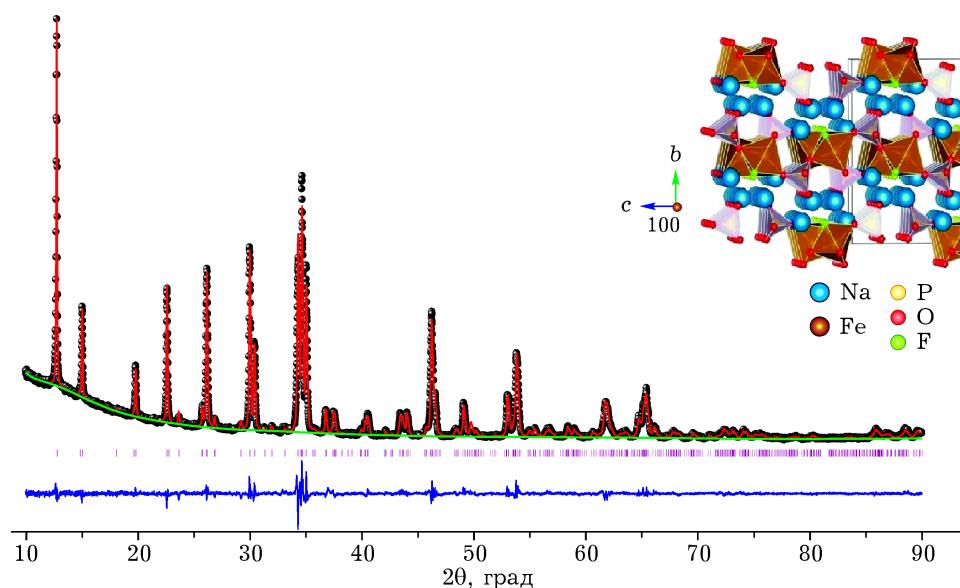


Рис. 2. Структура и дифрактограмма $\text{Na}_2\text{FePO}_4\text{F}$, уточненная по методу Ритвельда.

степени [10]. Структурное заполнение и тепловые параметры не варьировали. Уточненные параметры решетки и позиции атомов представлены в табл. 1. Полученные результаты уточнения коррелируют с литературными данными [5].

ЯГР-спектр синтезированного образца $\text{Na}_2\text{FePO}_4\text{F}$ состоит из дублета, характерного для ионов Fe^{2+} в октаэдрическом окружении, что согласуется с данными [8] (рис. 3). Химический сдвиг и квадрупольное расщепление составляют 1.23 и 2.19 мм/с соответственно. Таким образом, из данных ЯГР и РФА следует, что полученный образец является

однофазным продуктом $\text{Na}_2\text{FePO}_4\text{F}$. Следует отметить, что в литературе только в одной публикации [11] описано получение однофазного $\text{Na}_2\text{FePO}_4\text{F}$, однако метод синтеза его достаточно сложен.

Полученные нами образцы $\text{Na}_2\text{FePO}_4\text{F}$ и $\text{Na}_2\text{FePO}_4\text{F}/\text{C}$ успешно циклировали в ячейке с литиевым анодом и литиевым электролитом в интервале напряжений 2.0–4.2 В при комнатной температуре. Установлено, что удельная разрядная емкость $\text{Na}_2\text{FePO}_4\text{F}$ составляет 100 $\text{mA} \cdot \text{ч}/\text{г}$ (теоретическая емкость 124 $\text{mA} \cdot \text{ч}/\text{г}$) при скорости циклирования C/10 ($C = 124 \text{ mA/g}$) (рис. 4). При добавлении 3 %

ТАБЛИЦА 1

Уточненные параметры структуры $\text{Na}_2\text{FePO}_4\text{F}$
(пр. гр. $Pbcn$: $a = 5.2273(4)$ Å, $b = 13.821(1)$ Å, $c = 11.749(1)$ Å,
 $V = 848.8(2)$ Å 3 , $R_{wp} = 5.76\%$, $\chi^2 = 3.046$; заполнение 1.0)

| Атом | Позиция | x | y | z |
|--------|---------|-----------|-----------|-----------|
| Fe | 8d | 0.2368(5) | 0.0099(2) | 0.3253(1) |
| P | 8d | 0.2033(7) | 0.3824(2) | 0.0875(2) |
| Na (1) | 8d | 0.259(1) | 0.2415(4) | 0.3252(3) |
| Na (2) | 8d | 0.2524(9) | 0.1285(9) | 0.0853(2) |
| F (1) | 4c | 0 | 0.1242(6) | 0.25 |
| F (2) | 4c | 0 | 0.1005(5) | 0.25 |
| O (1) | 8d | 0.269(1) | 0.3847(4) | 0.0411(5) |
| O (2) | 8d | 0.288(1) | 0.2803(5) | 0.1351(4) |
| O (3) | 8d | 0.0979(9) | 0.3967(5) | 0.1057(4) |
| O (4) | 8d | 0.341(1) | 0.4650(4) | 0.1484(4) |

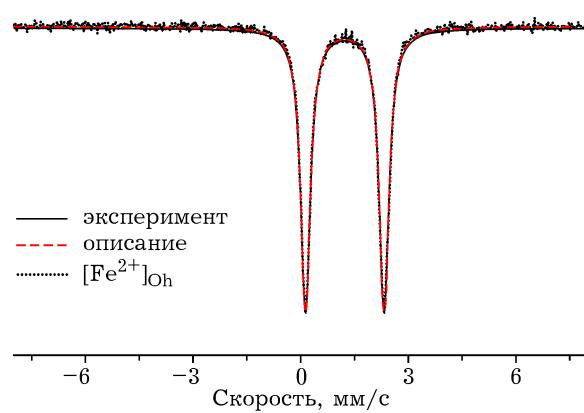


Рис. 3. ЯГР-спектр $\text{Na}_2\text{FePO}_4\text{F}$.

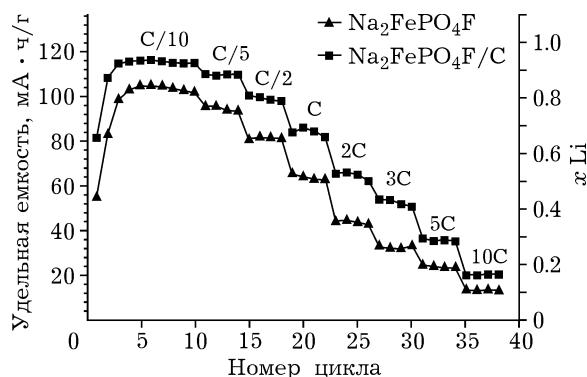


Рис. 4. Зависимость удельной разрядной емкости $\text{Na}_2\text{FePO}_4\text{F}$ и $\text{Na}_2\text{FePO}_4\text{F}/\text{C}$ от скорости циклирования.

углерода в реакционную смесь образуется композит $\text{Na}_2\text{FePO}_4\text{F}/\text{C}$, а удельная емкость продукта возрастает до 115 мА·ч/г, что соответствует 92.5 % от теоретической. В ходе циклирования при более высоких скоростях значительного падения емкости $\text{Na}_2\text{FePO}_4\text{F}$ и $\text{Na}_2\text{FePO}_4\text{F}/\text{C}$ не наблюдается. Так, увеличение скорости циклирования в два раза приводит к снижению удельной емкости до 92 мА·ч/г в случае материала без углеродного покрытия и до 109 мА·ч/г в случае композита $\text{Na}_2\text{FePO}_4\text{F}/\text{C}$. С увеличением скорости в 10 раз удельная емкость уменьшается менее

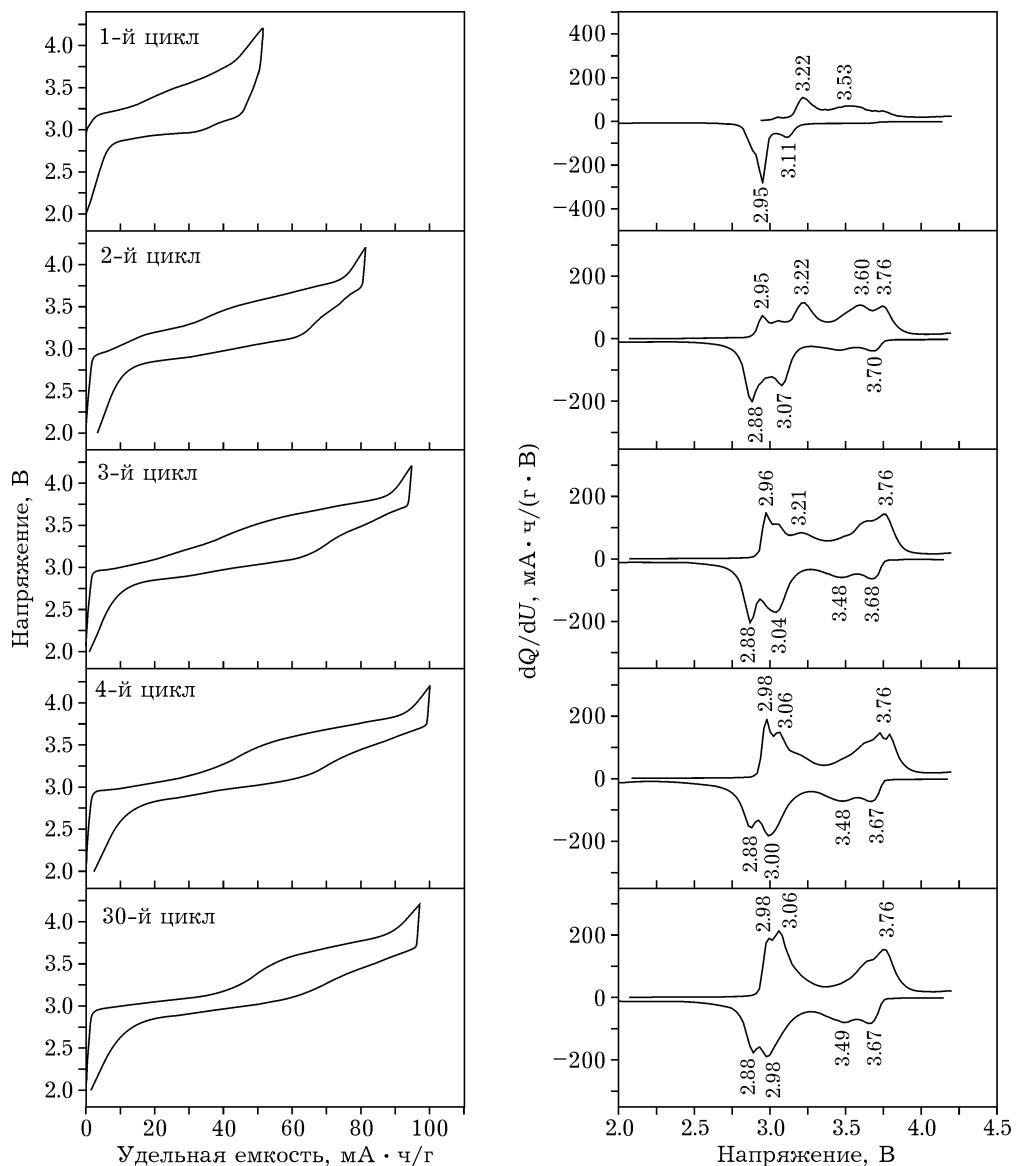


Рис. 5. Профили кривых циклирования и зависимости dQ/dU от напряжения для $\text{Na}_2\text{FePO}_4\text{F}$.

чем в два раза: до 63 $\text{mA} \cdot \text{ч}/\text{г}$ для $\text{Na}_2\text{FePO}_4\text{F}$ и до 80 $\text{mA} \cdot \text{ч}/\text{г}$ для композита с углеродом. Даже увеличение скорости в 100 раз не вызывает потери всей удельной емкости: для $\text{Na}_2\text{FePO}_4\text{F}$ эта величина составляет 13 $\text{mA} \cdot \text{ч}/\text{г}$, а для композита – 20 $\text{mA} \cdot \text{ч}/\text{г}$ mA , т. е. понижается только в шесть раз.

Обнаружено, что в ходе первых четырех циклов значительно изменяется профиль зарядно-разрядных кривых, причем первая зарядная кривая является невоспроизводимой. Это хорошо отражается на зависимости dQ/dU от напряжения (рис. 5). Преобразование кривых циклирования к такому виду позволяет судить о стадийности и среднем напряжении интеркаляции/деинтеркаляции. Из данных рис. 5 следует, что на последующих нескольких циклах форма кривых $dQ/dU = f(U)$ постепенно изменяется [5]. После четырех-пяти циклов существенных изменений не наблюдается. Очевидно, что все изменения на зарядно-разрядных кривых и на кривых $dQ/dU = f(U)$ начальных циклов можно связать с постепенным замещением ионов Na на ионы Li в структуре $\text{Na}_2\text{FePO}_4\text{F}$, которое сопровождается ростом удельной емкости вплоть до пятого цикла. После завершения ионного обмена емкость не изменяется. Мы полагаем, что в процессах интеркаляции преимущественно участвуют ионы Li^+ в силу большого избытка лития в ячейке.

Ранее в работе [2] исследовали химический состав продуктов, образующихся в результате химического окисления-восстановления $\text{Na}_2\text{FePO}_4\text{F}$. Сначала $\text{Na}_2\text{FePO}_4\text{F}$ окисляли с помощью NO_2BF_4 до NaFePO_4F , а затем восстанавливали раствором 1 M LiI в ацетонитриле. Образующаяся фаза имела состав $\text{Na}_{0.75}\text{Li}_{1.25}\text{FePO}_4\text{F}$; ее структура отличалась от $\text{Na}_2\text{FePO}_4\text{F}$ не только параметрами решетки,

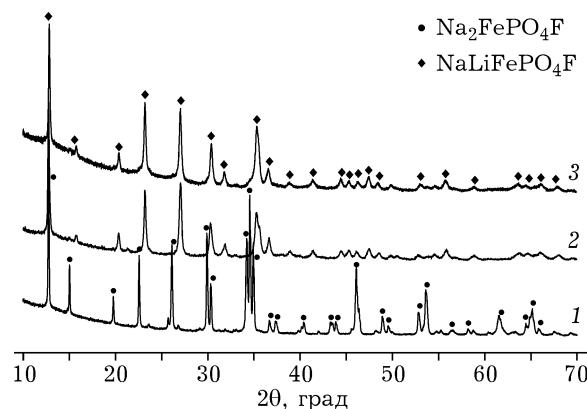


Рис. 6. Дифрактограммы исходного $\text{Na}_2\text{FePO}_4\text{F}$ (1) и продуктов, полученных в результате химического (2) и электрохимического (3) ионного обмена.

но и перераспределением ионов Na по двум существующим позициям. Установлено, что в ходе электрохимического циклирования $\text{Na}_2\text{FePO}_4\text{F}$ в ячейке с литиевым анодом образуется фаза состава $\text{Na}_{0.6}\text{Li}_{1.4}\text{FePO}_4\text{F}$; однако структура продукта не изучалась.

Нами исследована кристаллическая структура продуктов, образующихся в результате химического и электрохимического обмена на синтезированного соединения $\text{Na}_2\text{FePO}_4\text{F}$. Химический ионный обмен Na на Li в $\text{Na}_2\text{FePO}_4\text{F}$ проводили при его перемешивании в растворе 1 M LiBr в ацетонитриле в течение 30 ч. В случае электрохимического обмена продукт извлекали из ячейки по окончании процесса разряда. Дифрактограммы продуктов представлены на рис. 6. Уточнение структуры образцов по методу Ритвельда показало, что в обоих случаях структура аналогична структуре исходного $\text{Na}_2\text{FePO}_4\text{F}$ (пр. гр. $Pbcn$), однако параметры решетки существенно меньше, поскольку радиус ионов Li меньше по сравнению с ионами Na. На осно-

ТАБЛИЦА 2

Параметры решетки образцов $\text{Na}_2\text{FePO}_4\text{F}$ и $\text{Na}_{2-x}\text{Li}_x\text{FePO}_4$, полученных методом химического и электрохимического обмена (пр. гр. $Pbcn$)

| Образцы | $a, \text{\AA}$ | $b, \text{\AA}$ | $c, \text{\AA}$ | $V, \text{\AA}^3$ |
|---|-----------------|-----------------|-----------------|-------------------|
| $\text{Na}_2\text{FePO}_4\text{F}$ | 5.2273(4) | 13.821(1) | 11.749(1) | 848.8(2) |
| То же, после химического обмена | 5.053(3) | 13.804(6) | 11.244(6) | 784.0(1) |
| То же, после циклирования | 5.028(2) | 13.821(6) | 11.199(5) | 778.0(1) |
| $\text{Na}_{0.75}\text{Li}_{1.25}\text{FePO}_4\text{F}$ [2] | 5.0407(3) | 13.9069(9) | 11.2215(5) | 780.98(5) |

вании рассчитанных параметров решетки (табл. 2) состав соединений можно описать общей формулой NaLiFePO₄F.

ЗАКЛЮЧЕНИЕ

Показано, что однофазный катодный материал Na₂FePO₄F может быть получен в процессе механохимически стимулированного твердофазного синтеза, при этом продукт частично образуется уже на стадии MA, а последующий термический отжиг приводит к его кристаллизации. За счет добавления углерода в исходную смесь полученный композит Na₂FePO₄F/C имеет улучшенные электрохимические свойства. Процесс химического и электрохимического ионного обмена Na на Li в структуре Na₂FePO₄F завершается образованием продукта состава NaLiFePO₄F независимо от используемого метода, при этом его структура не изменяется (пр. гр. *Pbcn*).

Авторы выражают благодарность всем сотрудникам, принимавшим участие в данном исследовании: Е. Т. Девяткиной, Г. Н. Томиловой, С. А. Петрову, Н. В. Булиной (ИХТГМ СО РАН), Т. Ю. Кардаш (ИК СО РАН).

СПИСОК ЛИТЕРАТУРЫ

- 1 Ellis B. L., Nazar L. F. // Current Opinion Solid State Mater. Sci. 2012. Vol. 16. P. 168.
- 2 Ellis B. L., Makahnouk W. R. M., Rowan-Weetaluktuk W. N., Ryan D. H., Nazar L. F. // Chem. Mater. 2010. Vol. 22. P. 1059.
- 3 Wu X., Zheng J., Gong Z., Yang Y. // J. Mater. Chem. 2011. Vol. 21. P. 18630.
- 4 Косова Н. В., Девяткина Е. Т. // Электрохимия. 2012. Т. 48. № 2. С. 351.
- 5 Ellis B. L., Makahnouk W. R. M., Makimura Y., Toghill K., Nazar L. F. // Nat. Mater. 2007. Vol. 6. P. 749.
- 6 Tarascon J. M., Recham N., Armand M., Chotard J. N., Barpanda P., Walker W., Dupont L. // Chem. Mater. 2010. Vol. 22. P. 724.
- 7 Langrock A., Xu Y., Liu Y., Ehrman S., Manivannan A., Wang C. // J. Power Sources. 2013. Vol. 223. P. 62.
- 8 Vidal-Abarca C., Lavela P., Tirado J. L., Chadwick A. V., Alfredsson M., Kelder E. // J. Power Sources. 2013. Vol. 197. P. 314.
- 9 Хайнеке Г. Трибохимия: пер. с англ. М.: Мир, 1987. 584 с.
- 10 Toby B. H. // J. Appl. Cryst. 2001. Vol. 34. P. 210.
- 11 Lee I. K., Shim I.-B., Kim C. S. // J. Appl. Phys. 2011. Vol. 109. P. 07E136.